



Национальный исследовательский
Нижегородский государственный университет им. Н.И. Лобачевского
Институт информационных технологий, математики и механики

Образовательный курс
«Введение в глубокое обучение с использованием
Intel® neon™ Framework»

Сверточные нейронные сети. Глубокие остаточные сети

При поддержке компании Intel

Кустикова Валентина,
к.т.н., ст.преп. каф. МОСТ ИИТММ,
ННГУ им. Н.И. Лобачевского

Содержание

- ❑ Операция «свертки»
- ❑ Общая структура сверточного слоя
- ❑ Входные и выходные данные сверточной сети
- ❑ Метод обратного распространения ошибки для сверточных нейронных сетей
- ❑ Определение количества обучаемых параметров. Оценка объема памяти, необходимого для хранения сети
- ❑ Пример применения сверточных нейронных сетей для решения задачи предсказания пола человека по фотографии
- ❑ Принципы построения сверточных сетей
- ❑ Проблема деградация модели. Глубокие остаточные сети. Пример простейшей сети



ОПЕРАЦИЯ «СВЕРТКИ». ОБЩАЯ СТРУКТУРА СВЕРТОЧНОГО СЛОЯ



Сверточные нейронные сети

- ❑ **Сверточные нейронные сети** – вид нейронных сетей, которые хотя бы на одном из своих слоев в качестве преобразования используют операцию «свертки»
- ❑ **Свертка** – операция, применяемая к двум вещественнозначным функциям

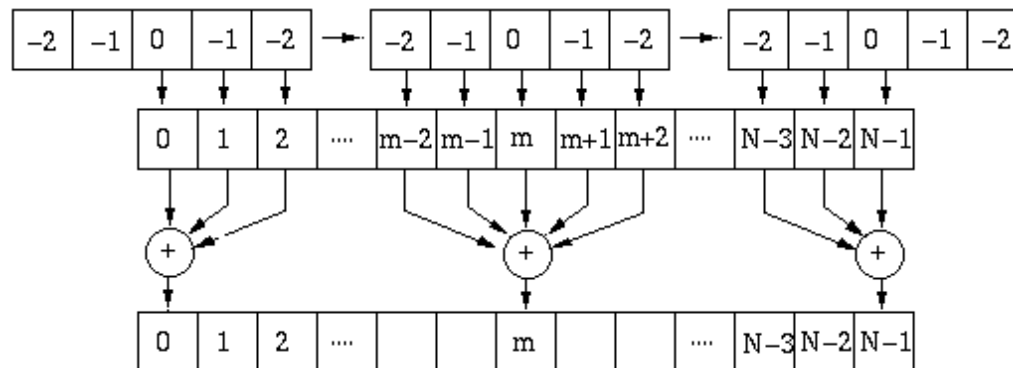


Операция «свертки» (1)

- Данные в компьютерах дискретные, и измерения выполняются с некоторым интервалом, поэтому, как правило, рассматривается **дискретная свертка**:

$$s(t) = \langle x * w \rangle(t) = \sum_{a=-\infty}^{\infty} x(a)w(t-a),$$

где $x(\cdot)$ – **вход**, функция $w(\cdot)$ – **ядро свертки**, ВЫХОД – **карта признаков** (feature map)



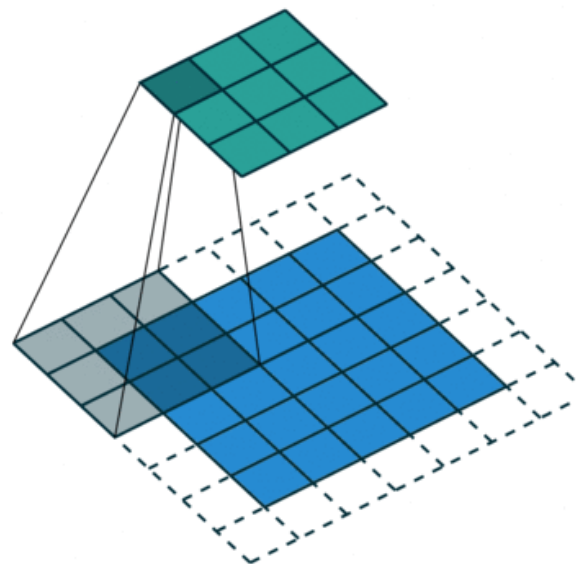
* Digital Convolution -- E186 Handout

[<http://fourier.eng.hmc.edu/e161/lectures/convolution/index.html>].

Операция «свертки» (2)

- ❑ В задачах машинного обучения вход – многомерный массив данных (тензор), а **ядро** – многомерный массив параметров
- ❑ Если на входе имеется двумерное изображение I и ядро K , то операция свертки выглядит следующим образом:

$$s(i, j) = \langle I * K \rangle(i, j) = \sum_m \sum_n I(m, n) K(i - m, j - n)$$



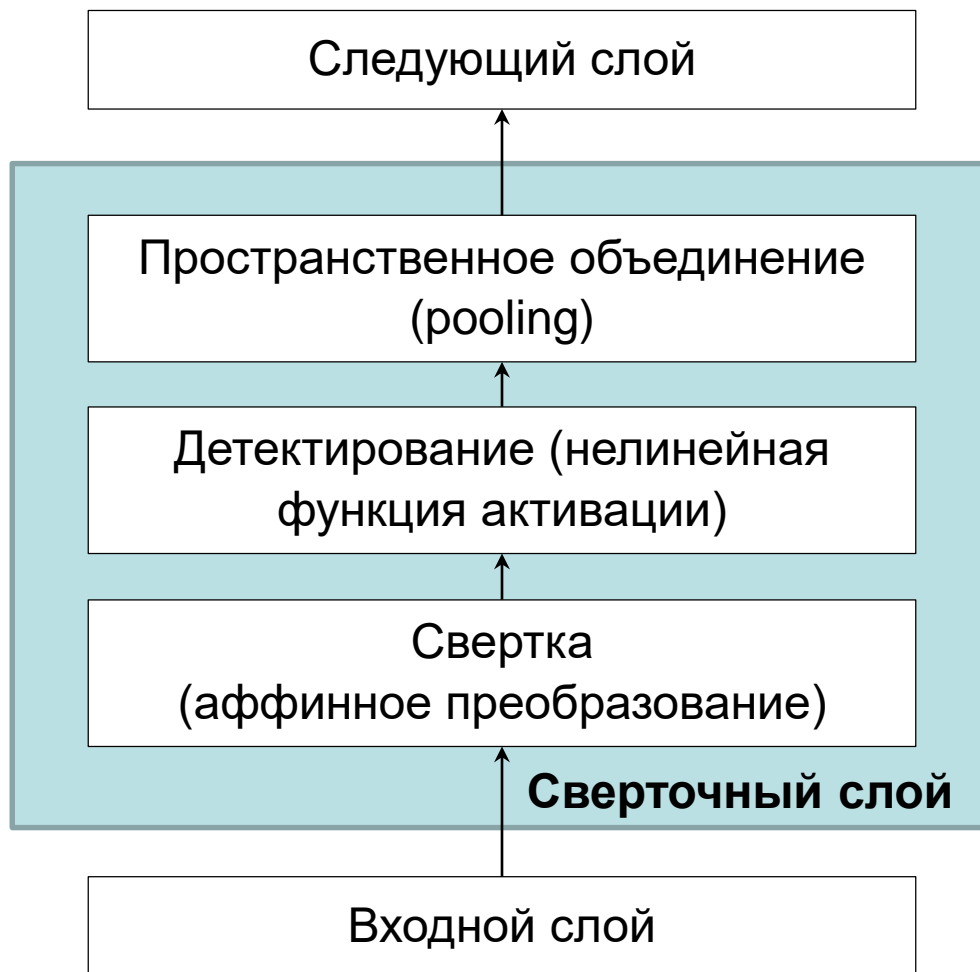
* A technical report on convolution arithmetic in the context of deep learning [https://github.com/vdumoulin/conv_arithmetic].

Общая структура сверточного слоя (1)

- Слой сверточной нейронной сети состоит из трех стадий:
 - **Создание набора линейных активаций** посредством выполнения одной или нескольких параллельных сверток
 - **Детектирование** – применение нелинейной функции активации ко всем линейным активациям
 - **Пространственное объединение** (pooling) с целью модификации выхода для передачи на следующий слой сети



Общая структура сверточного слоя (2)



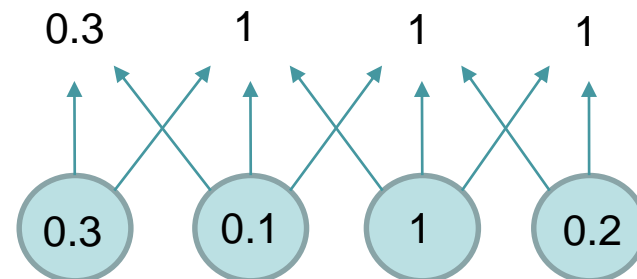
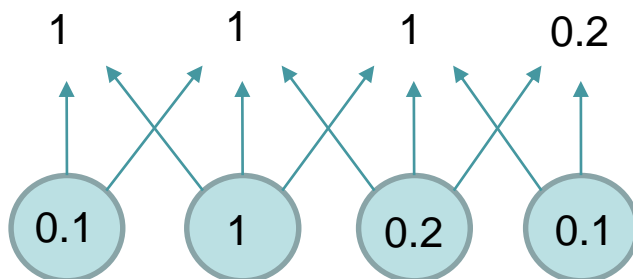
Пространственное объединение (1)

- ❑ Смысл объединения состоит в том, чтобы заменить выход сети сводной статистикой в окрестности выходов
- ❑ Примеры:
 - объединение по максимуму (max pooling),
 - усреднение по прямоугольной области (average pooling),
 - L^2 -норма в прямоугольной окрестности,
 - взвешенное среднее на основании расстояния относительно центрального пикселя



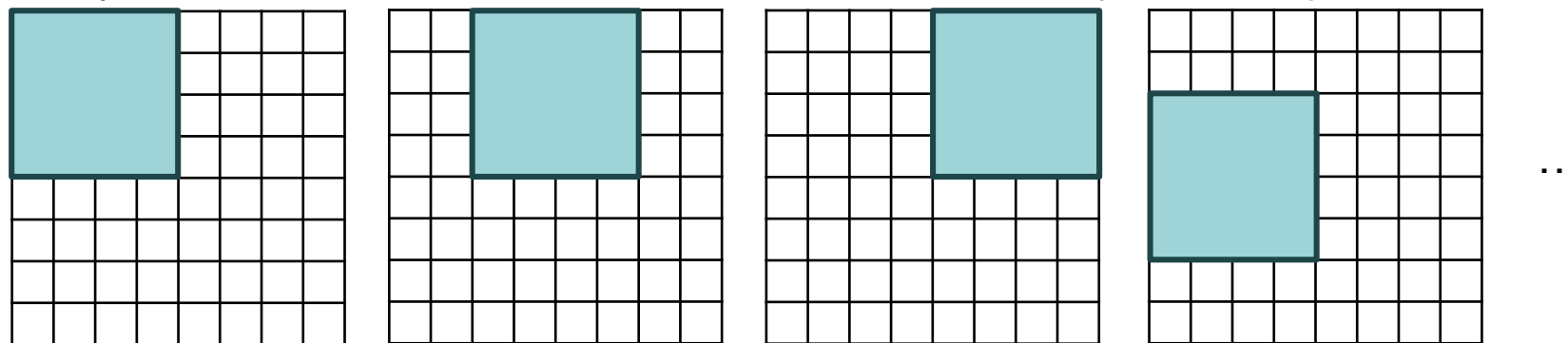
Пространственное объединение (2)

- ❑ **Независимо от выбора функции пространственное объединение помогает сделать представление инвариантным относительно смещения входов**
- ❑ Если объект немного сместится на изображении, то значения на выходе стадии объединения практически не изменятся
- ❑ Например, если решается задача определения наличия лица на изображении, то достаточно информации о том, что на левой и правой частях лица есть по одному глазу
- ❑ Пример применения пространственного объединения по максимуму (отличия только на границах)



Пространственное объединение (3)

- ❑ *Операция пространственного объединения обобщает отклики в некоторой окрестности, поэтому на данной стадии можно использовать меньшее количество нейронов*
- ❑ Реализуется посредством объединения окрестностей с шагом (stride), большим единицы. Пример обхода (stride=2):



- ❑ Повышается вычислительная эффективность сети, поскольку размер входа следующего слоя в несколько раз меньше (примерно в stride-раз), чем входной слой предыдущего сверточного слоя



ВХОДНЫЕ И ВЫХОДНЫЕ ДАННЫЕ СВЕРТОЧНОЙ СЕТИ



Одномерные входные данные

Одноканальные данные	Многоканальные данные
<p><i>Аудиосигнал</i></p> <ul style="list-style-type: none">• Дискретный сигнал, полученный с некоторым шагом по времени• Свертка вычисляется вдоль временной оси	<p><i>Данные анимации скелета</i></p> <ul style="list-style-type: none">• В каждый момент времени поза персонажа описывается углами, образованными в точках, соответствующих суставам скелета• Каждый канал данных, который подается на вход сверточной сети, представляет собой угол вокруг одной оси одного сустава



Двумерные входные данные

Одноканальные данные	Многоканальные данные
<p><i>Предобработанный аудиосигнал</i></p> <ul style="list-style-type: none">• Сигнал после применения дискретного преобразования Фурье• Двумерная матрица, в которой строки отвечают различным частотам, столбцы – различным точкам по времени	<p><i>Цветное изображение</i></p> <ul style="list-style-type: none">• Изображение в формате RGB (или BGR)• Ядро свертки движается в горизонтальном и вертикальном направлениях одновременно, обеспечивая тем самым инвариантность относительно операции сдвига



Трехмерные входные данные

Одноканальные данные	Многоканальные данные
<i>Пространственные данные</i> <ul style="list-style-type: none">• Типичным примером являются данные компьютерной томографии	<i>Цветное видео</i> <ul style="list-style-type: none">• Набор двумерных цветных изображений



Выходные данные сверточной сети (1)

- ❑ Сверточные нейронные сети позволяют генерировать выходные данные высокой размерности
- ❑ Как правило, выход – это объект, который является тензором, полученным на выходе стандартного сверточного (или полностью связанного) слоя сети
- ❑ Например, модель может порождать трехмерный тензор с элементами $S_{i,j,k}$, отвечающими вероятности принадлежности пикселя (i, j) к классу k . В результате модель позволяет разметить каждый пиксель и выделить объекты на изображении, т.е. решить задачу семантической сегментации изображений



Выходные данные сверточной сети (2)



Оригинал



Разметка



Результат сегментации

* The PASCAL Visual Object Classes Homepage [<http://host.robots.ox.ac.uk/pascal/VOC>].

Выходные данные сверточной сети (3)

- Вид выходных данных сверточной сети зависит от ***конкретной прикладной задачи***, которая решается



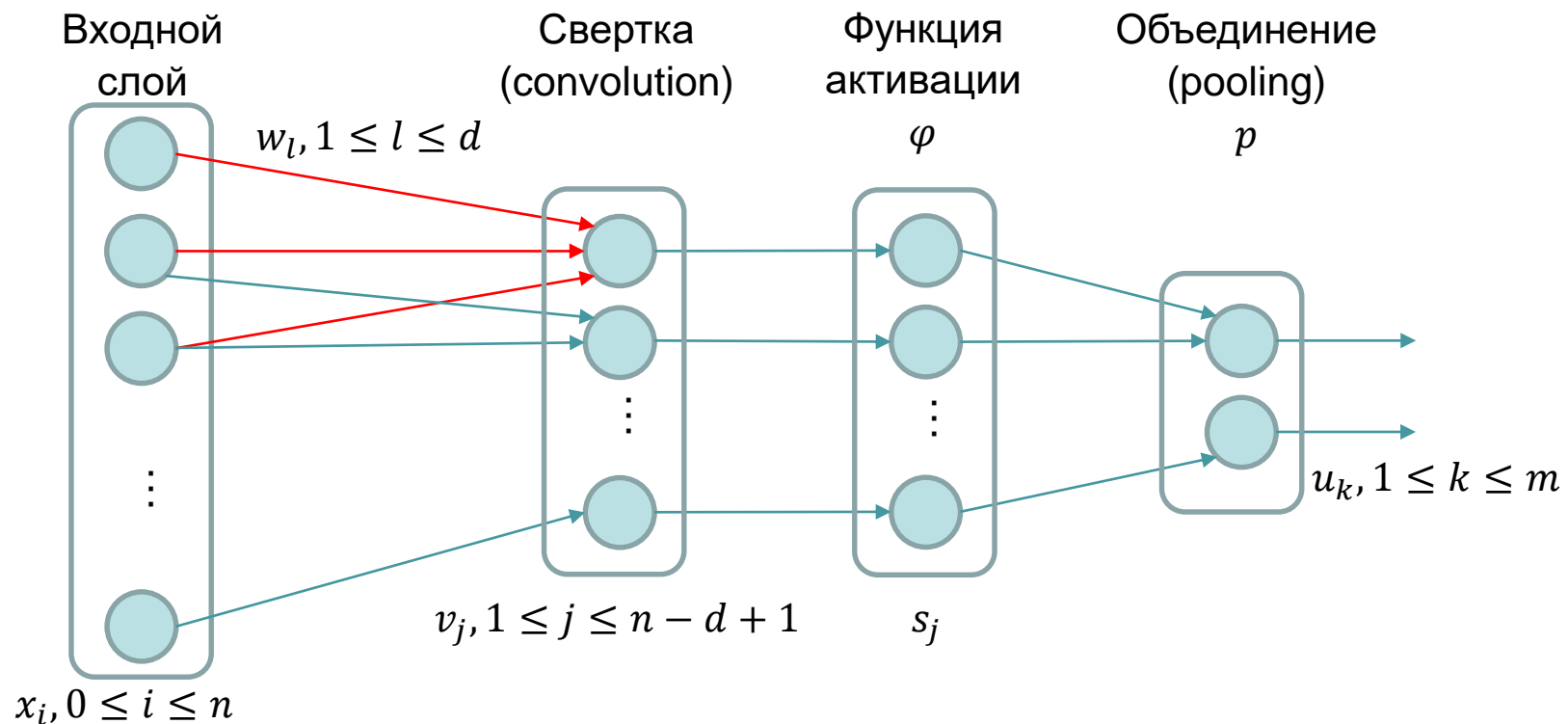
МЕТОД ОБРАТНОГО РАСПРОСТРАНЕНИЯ ОШИБКИ ДЛЯ СВЕРТОЧНЫХ СЕТЕЙ



Метод обратного распространения ошибки.

Предположения и обозначения

- ❑ Рассмотрим сверточную сеть, содержащую только один типовой сверточный слой
- ❑ Считаем, что входные данные одномерные
- ❑ Обозначим как $E(w)$ функцию ошибки



Прямой проход. Вычисление производных (1)

- Результат применения свертки к входному сигналу выглядит следующим образом:

$$v_j = \sum_{i=1}^d x_{j+i-1} w_i = w^T x_{j:j+d-1}$$

- Тогда производная от функции свертки по весовым коэффициентам ядра вычисляется по формуле

$$\frac{\partial v_j}{\partial w_i} = x_{j+i-1}, \forall i = \overline{1, d}$$



Прямой проход. Вычисление производных (2)

- Производная от функции ошибки по весам ядра свертки:

$$\begin{aligned}\frac{\partial E(w)}{\partial w_i} &= \frac{\partial E}{\partial v} \frac{\partial v}{\partial w_i} = \sum_{j=1}^{n-d+1} \frac{\partial E}{\partial v_j} \frac{\partial v_j}{\partial w_i} = \sum_{j=1}^{n-d+1} \frac{\partial E}{\partial v_j} x_{j+i-1} = \\ &= \langle \delta^{(conv)} * x \rangle(i) = \langle x * \delta^{(conv)} \rangle(i), \\ \delta^{(conv)} &= \left(\frac{\partial E}{\partial v_j} \right)_{j=\overline{1, n-d+1}}, \quad \frac{\partial E}{\partial w} = \langle x * \delta^{(conv)} \rangle\end{aligned}$$



Прямой проход. Вычисление производных (3)

- ❑ Производные от функции активации и функции пространственного объединения зависят от вида функций
- ❑ В качестве функции объединения может быть выбрана любая дифференцируемая вещественнозначная функция:

$$\left\{ \begin{array}{ll} \frac{\sum_{i=1}^q x_i}{q}, & \frac{\partial p}{\partial x_i} = \frac{1}{q}, \quad \text{average pooling} \\ \max_{i=1,q} x_i, & \frac{\partial p}{\partial x_i} = \begin{cases} 1, & x_i = \max_{i=1,q} x_i \\ 0, & \text{иначе} \end{cases}, \quad \text{max - pooling} \\ \|x\|_p = \left(\sum_{i=1}^q |x_i|^p \right)^{\frac{1}{p}}, & \frac{\partial p}{\partial x_i} = \left(\sum_{i=1}^q |x_i|^p \right)^{\frac{1}{p}-1} |x_i|^{p-1}, \quad L_p - \text{pooling} \\ p: \mathbb{R}^q \rightarrow \mathbb{R}, & \exists \frac{\partial p}{\partial x_i} \end{array} \right.$$

Прямой проход. Вычисление производных (4)

- Производная функции ошибки вычисляется следующим образом:

$$\frac{\partial E(w)}{\partial w_i} = \sum_{j=1}^{n-d+1} \frac{\partial E}{\partial u_k} \frac{\partial p}{\partial s_j} \frac{\partial \varphi}{\partial v_j} x_{j+i-1} = \langle x * \delta^{(conv)} \rangle(x_i),$$
$$\delta_{j,k}^{(conv)} = \frac{\partial E}{\partial u_k} \frac{\partial p}{\partial s_j} \frac{\partial \varphi}{\partial v_j} = \delta_k^{(pool)} \frac{\partial p}{\partial s_j} \frac{\partial \varphi}{\partial v_j}, \quad \delta_k^{(pool)} = \frac{\partial E}{\partial u_k}$$



Обратный проход. Коррекция весов сети

- ❑ Выбор типа пространственного объединения определяет, в каком направлении распространяется ошибка
- ❑ В случае выбора объединения по максимуму очевидно, что градиент функции ошибки на последнем слое идет в сторону нейрона s_j , на выходе которого получено максимальное значение
- ❑ В общем случае градиент распространяется в соответствии с значением $\delta_k^{(pool)}$, $1 \leq k \leq m$
- ❑ Это значение передается в обратном направлении и значение градиентов на сверточном слое определяется в соответствии с формулой для вычисления $\delta_{j,k}^{(conv)}$, $1 \leq j \leq n - d + 1$



ОПРЕДЕЛЕНИЕ КОЛИЧЕСТВА ПАРАМЕТРОВ СЕТИ. ОЦЕНКА ОБЪЕМА ПАМЯТИ



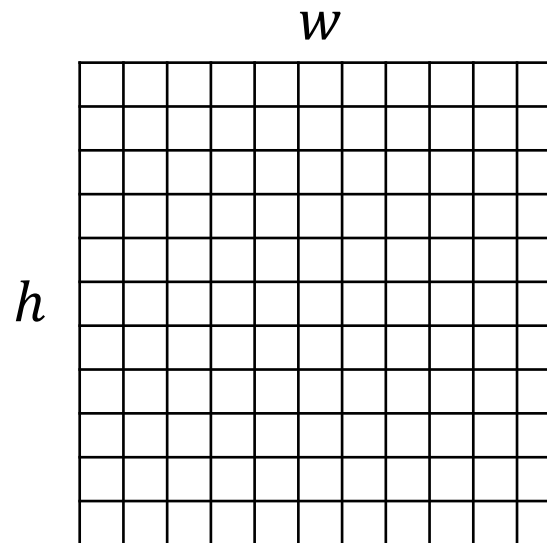
Зачем определять количество параметров сети?

- ❑ Позволяет **оценить размерность пространства параметров**, в котором решается задача минимизации целевой функции
- ❑ Позволяет **оценить объем памяти**, необходимой для обучения/тестирования нейронной сети



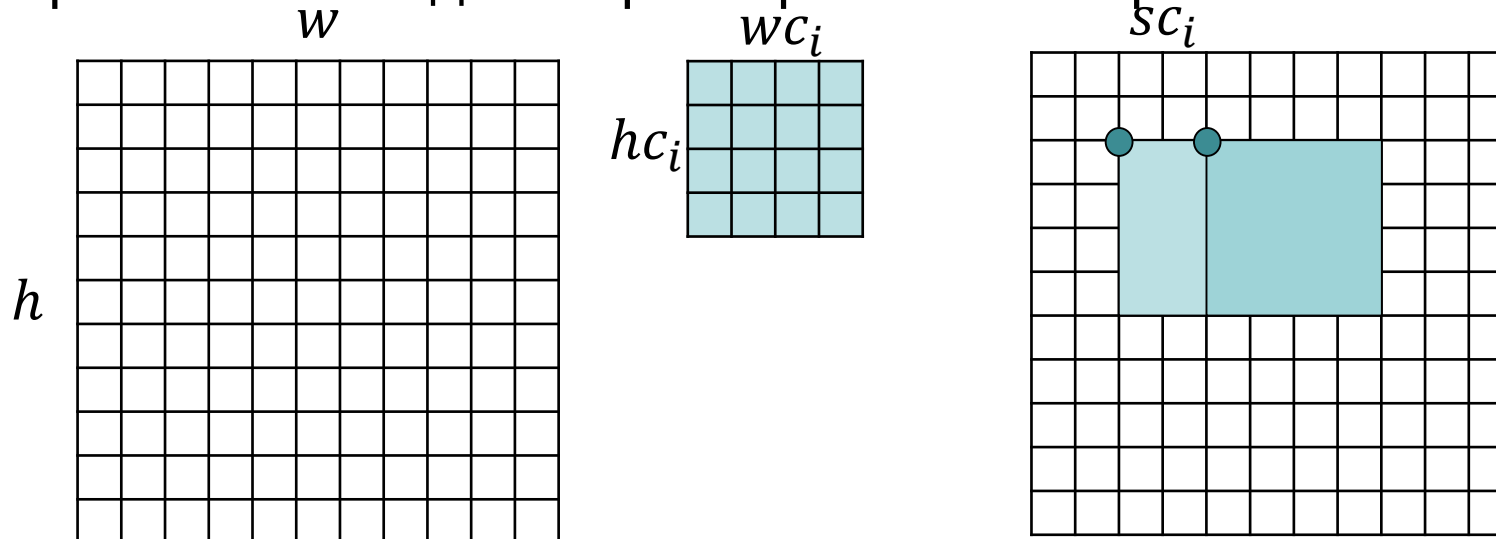
Определение количества параметров сверточной сети (1.1)

- Предположим, что на входе сети имеется одноканальное изображение разрешения $w \times h$



Определение количества параметров сверточной сети (1.2)

- ❑ Сеть содержит N сверточных слоев (троек, состоящих из свертки, вычисления функции активации и пространственного объединения)
- ❑ На каждом слое выполняется свертка карты признаков с фильтром, размер ядра которого составляет $wc_i \times hc_i$, где $1 \leq i \leq N$ – номер слоя
- ❑ Изображение обходится фильтром с некоторым шагом sc_i



Определение количества параметров сверточной сети (1.3)

- Количество обучаемых параметров сети:

$$\sum_{i=1}^N w c_i \cdot h c_i$$



Определение количества параметров сверточной сети (2)

- ❑ В общем случае на каждом слое может вычисляться свертка не с одним ядром, а с несколькими ядрами одинакового размера
- ❑ В предположении, что на слое с номером i выполняется k_i сверток, суммарное количество параметров составляет

$$\sum_{i=1}^N k_i \cdot wc_i \cdot hc_i$$



Объем памяти, необходимый для хранения сверточной нейронной сети (1)

- ❑ Входной слой сети содержит $w \times h$ пикселей
- ❑ Применение k_1 сверток к входному слою приводит к формированию карты признаков размерности

$$k_1 \times \left(\left\lceil \frac{w - wc_1}{sc_1} \right\rceil + 1 \right) \times \left(\left\lceil \frac{h - hc_1}{sc_1} \right\rceil + 1 \right)$$

- ❑ Применение функции активации к каждому элементу полученной карты дает карту признаков идентичной размерности

$$k_1 \times \left(\left\lceil \frac{w - wc_1}{sc_1} \right\rceil + 1 \right) \times \left(\left\lceil \frac{h - hc_1}{sc_1} \right\rceil + 1 \right)$$



Объем памяти, необходимый для хранения сверточной нейронной сети (2)

- ❑ Введем обозначения $w_1 = \left\lceil \frac{w - wc_1}{sc_1} \right\rceil + 1$, $h_1 = \left\lceil \frac{h - hc_1}{sc_1} \right\rceil + 1$
- ❑ Допустим, что операция пространственного объединения применяется к каждому каналу карты признаков (выход функции активации)
- ❑ Размер рассматриваемой окрестности составляет $wp_1 \times hp_1$, и проход осуществляется с шагом sp_1
- ❑ Тогда размерность карты признаков после операции объединения

$$k_1 \times \left(\left\lceil \frac{w_1 - wp_1}{sp_1} \right\rceil + 1 \right) \times \left(\left\lceil \frac{h_1 - hp_1}{sp_1} \right\rceil + 1 \right)$$



Объем памяти, необходимый для хранения сверточной нейронной сети (3)

- Объем памяти, необходимый для хранения первого сверточного слоя определяется формулой:

$$\left(2k_1 w_1 h_1 + k_1 \left(\left\lfloor \frac{w_1 - wp_1}{sp_1} \right\rfloor + 1 \right) \left(\left\lfloor \frac{h_1 - hp_1}{sp_1} \right\rfloor + 1 \right) \right) \cdot \text{sizeof}(\text{type})$$

- Если имеется N сверточных слоев, устроенных аналогичным образом, то для хранения всей сети требуется следующий объем памяти:

$$\left(w \cdot h + \sum_{i=1}^N \left(2k_i w_i h_i + k_i \left(\left\lfloor \frac{w_i - wp_i}{sp_i} \right\rfloor + 1 \right) \left(\left\lfloor \frac{h_i - hp_i}{sp_i} \right\rfloor + 1 \right) \right) \right) \cdot \text{sizeof}(\text{type}),$$

$$w_i = \left\lfloor \frac{w_{i-1} - wc_i}{sc_i} \right\rfloor + 1, h_i = \left\lfloor \frac{h_{i-1} - hc_i}{sc_i} \right\rfloor + 1, \quad w_0 = w, h_0 = h$$



Объем памяти, необходимый для хранения сверточной нейронной сети (4)

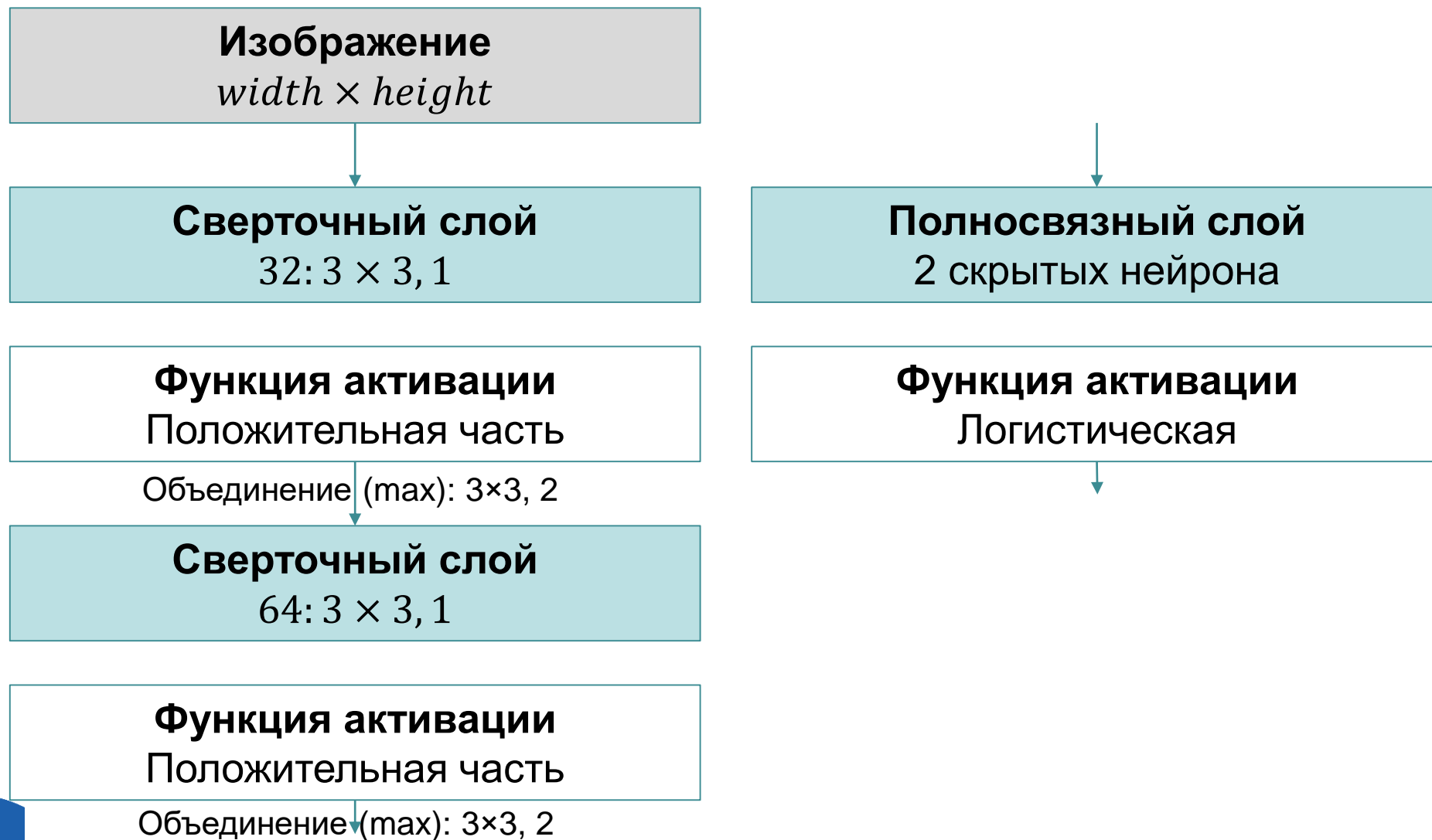
- Рассмотренный пример является частным случаем сверточной сети и демонстрирует лишь общую процедуру оценки объема памяти, необходимой для ее хранения
 - На входе сети может быть сигнал, отличный по структуре от рассмотренного (многомерный сигнал)
 - При выполнении операции свертки входная карта признаков может дополняться полями с целью сохранения размерности карты на выходе
 - Сверточная сеть наряду со сверточными слоями может содержать полностью связанные слои
 - В процессе обучения на вход сети могут подаваться изображения целым набором фиксированного размера – **пачкой** (batch) – с целью повышения эффективности вычислений и скорости обучения сети



ПРИМЕР ПОСТРОЕНИЯ СВЕРТОЧНОЙ СЕТИ ДЛЯ РЕШЕНИЯ ЗАДАЧИ



Архитектура сверточной сети



Пример применения сверточных сетей к задаче предсказания пола человека по фотографии

```
def generate_cnn_model():
    layers = [
        DataTransform(transform=Normalizer(divisor=128.0)),
        Conv(fshape=(3, 3, 32), padding=2, strides=1,
            dilation=2, init=Kaiming(), activation=Rectlin()),
        Pooling(fshape=(3, 3), padding=1, strides=2, op='max'),
        Conv(fshape=(3, 3, 64), padding=2, strides=1,
            dilation=2, init=Kaiming(), activation=Rectlin()),
        Pooling(fshape=(3, 3), padding=1, strides=2, op='max'),
        Affine(nout=class_count, init=Xavier(),
            activation=Logistic(shortcut=True)) ]
    model = Model(layers=layers)
    cost = GeneralizedCost(costfunc=CrossEntropyBinary())
    return (model, cost)
```



Тестовая инфраструктура

- ❑ CPU: Intel® Xeon® CPU E5-2660 0 @ 2.20GHz
- ❑ GPU: Tesla K40s 11Gb
- ❑ OS: Ubuntu 16.04.4 LTS
- ❑ Инструменты:
 - Intel® neon™ Framework 2.6.0
 - CUDA 8.0
 - Python 3.5.2
 - Intel® Math Kernel Library 2017 (Intel® MKL)



Результаты экспериментов

Название	Структура сети	Параметры обучения	Точность, %	Время обучения, с
CNN-1	Conv((3,3,32),0,Rectlin), Pooling((3,3),2,'max'), Conv((3,3,64),0,Rectlin), Pooling((3,3),2,'max'), Affine(2,0), Logistic)	batch_size = 128 epoch_count = 30 backend = gpu	79.3	1582
CNN-2	Conv((3,3,32),Explin), Pooling((5,5),2,'max'), Conv((3,3,32),Explin), BatchNorm, Conv((1,1,64),Explin), BatchNorm, Conv((3,3,64),Explin), BatchNorm, Conv((1,1,128),Explin), BatchNorm, Conv((3,3,128),Explin), BatchNorm, Conv((3,3,2),Explin), BatchNorm, Conv((1,1,2),0,Explin), BatchNorm, Pooling('avg'), Affine(2,0,Logistic)	GradientDescentMomentum(0.01, momentum_coef=0.9, wdecay=0.0005)	83.5	2030



Лучшие результаты для многослойных полносвязных и сверточных сетей

Название	Структура сети	Точность, %	Время обучения, с
FCNN-1	Affine(128,0,Tanh), Affine(2,0,Logistic)	71.2	932
FCNN-2	Affine(128,0,Tanh), Affine(64,0,Tanh), Affine(2,0,Logistic)	73.5	977
FCNN-3	Affine(400,0,Rectlin), Affine(50,0,Logistic), Affine(2,0,Logistic)	77.7	1013
CNN-1	Conv((3,3,32),0,Rectlin), Pooling((3,3),2,'max'), Conv((3,3,64),0,Rectlin), Pooling((3,3),2,'max'), Affine(2,0), Logistic)	79.3	1582
CNN-2	Conv((3,3,32),Explin), Pooling((5,5),2,'max'), Conv((3,3,32),Explin), BatchNorm, Conv((1,1,64),Explin), BatchNorm, Conv((3,3,64),Explin), BatchNorm, Conv((1,1,128),Explin), BatchNorm, Conv((3,3,128),Explin), BatchNorm, Conv((3,3,2),Explin), BatchNorm, Conv((1,1,2),0,Explin), BatchNorm, Pooling('avg'), Affine(2,0,Logistic)	83.5	2030

ПРИНЦИПЫ ПОСТРОЕНИЯ СВЕРТОЧНЫХ СЕТЕЙ



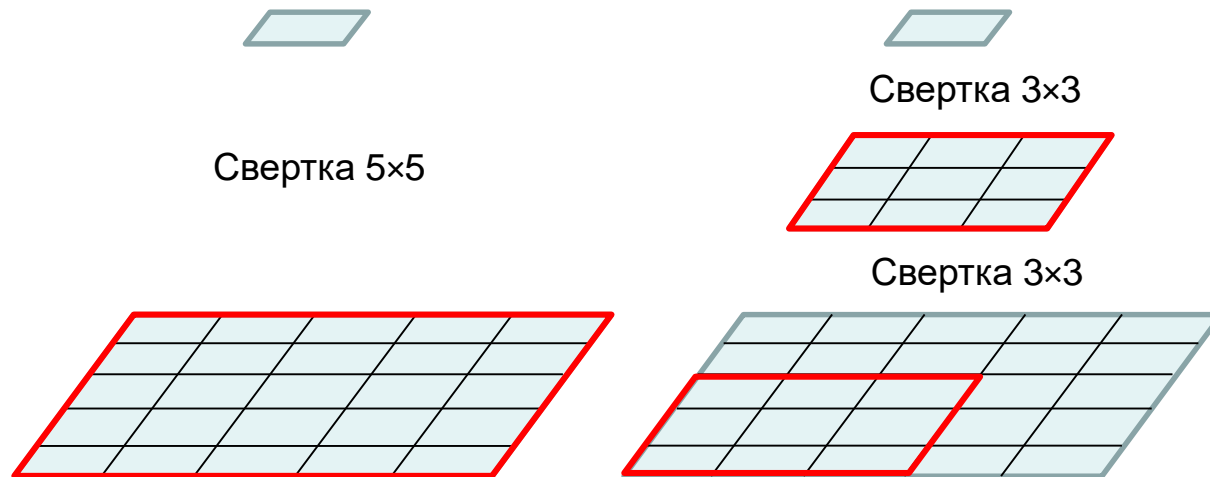
Принципы построения сверточных сетей (1)

- ❑ ***Выполнять предварительную обработку входных данных***
 - Вычитание среднего изображения, полученного по всем изображениям тренировочного множества
 - Центрирование изображений
- ❑ ***Избегать «узких горлышек» в представлении сети, особенно на начальных слоях***
 - При построении архитектуры сети имеет смысл избегать экстремального сжатия информации
 - Размерность представления дает приблизительную оценку информационного содержания контента



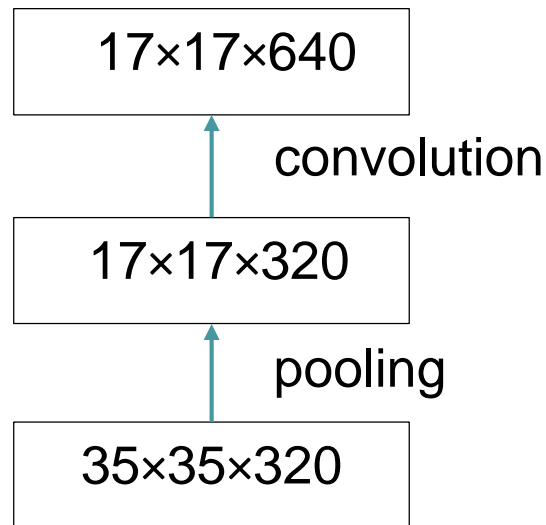
Принципы построения сверточных сетей (2)

- **Заменять сверточные слои большой размерности стеком сверток более низкой размерности**
 - Свертку с фильтром 5×5 можно заменить двумя последовательными свертками с фильтрами размера 3×3
 - При этом формируется сеть с меньшим числом параметров, но с тем же размером входа и глубиной выхода



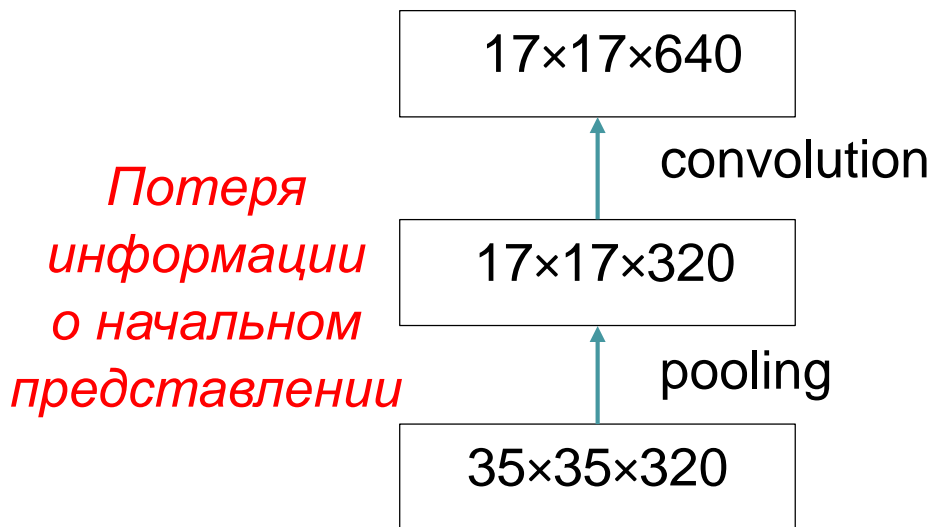
Принципы построения сверточных сетей (3.1)

- **Пространственную агрегацию следует выполнять по картам признаков более низкой размерности для снижения вычислительной сложности**
 - Реализуется посредством пространственного объединения (pooling) или введения inception-модулей



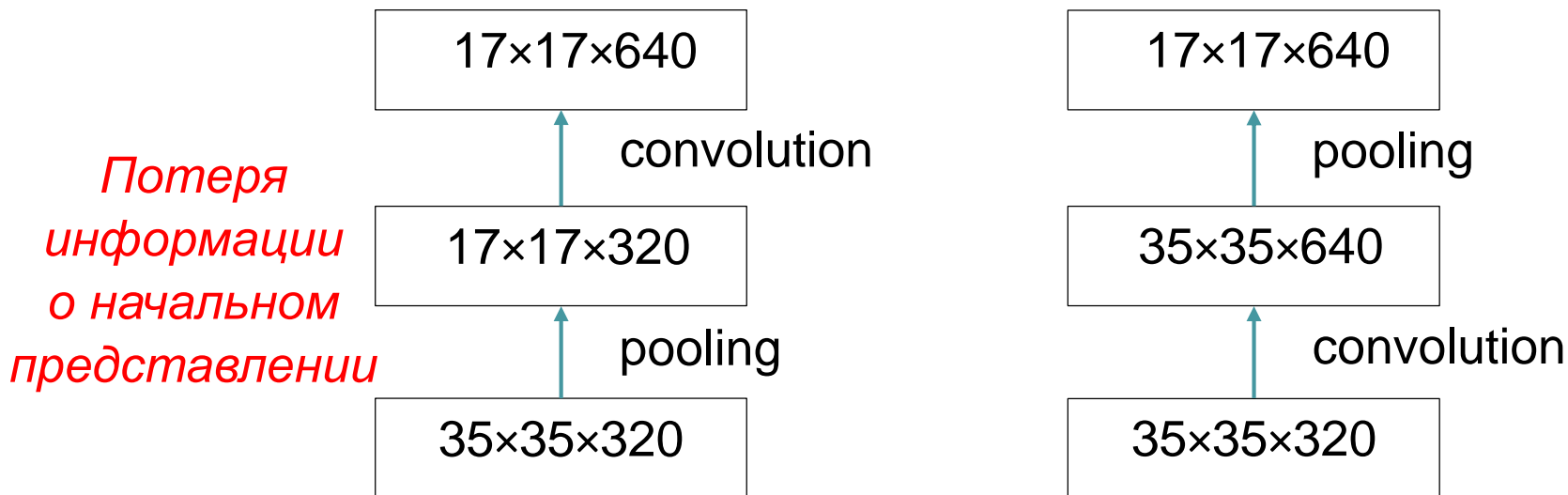
Принципы построения сверточных сетей (3.1)

- ❑ **Пространственную агрегацию следует выполнять по картам признаков более низкой размерности для снижения вычислительной сложности**
 - Реализуется посредством пространственного объединения (pooling) или введения inception-модулей



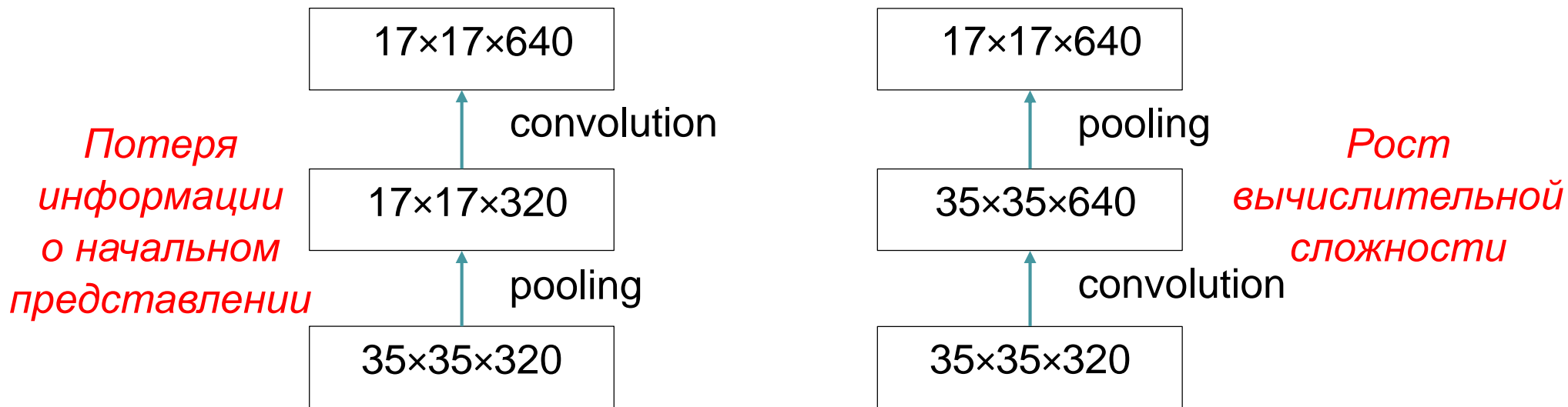
Принципы построения сверточных сетей (3.1)

- **Пространственную агрегацию следует выполнять по картам признаков более низкой размерности для снижения вычислительной сложности**
 - Реализуется посредством пространственного объединения (pooling) или введения inception-модулей



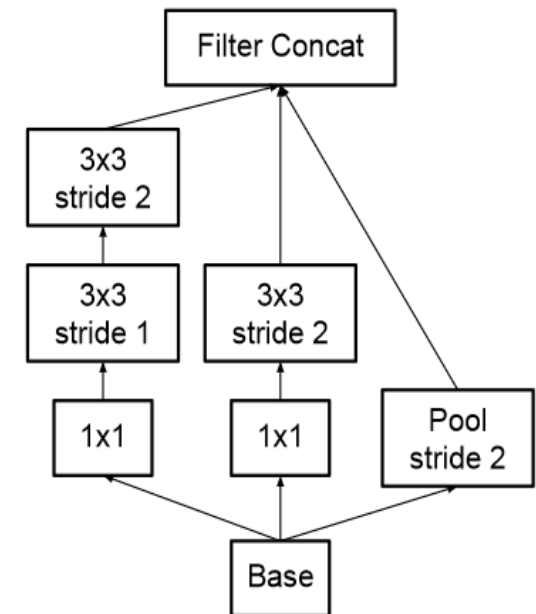
Принципы построения сверточных сетей (3.1)

- **Пространственную агрегацию следует выполнять по картам признаков более низкой размерности для снижения вычислительной сложности**
 - Реализуется посредством пространственного объединения (pooling) или введения inception-модулей



Принципы построения сверточных сетей (3.2)

- **Пространственную агрегацию следует выполнять по картам признаков более низкой размерности для снижения вычислительной сложности**
 - Реализуется посредством пространственного объединения (pooling) или введения inception-модулей



* Szegedy C., Vanhoucke V., Ioffe S., Shlens J. Rethinking the Inception Architecture for Computer Vision
– [<https://arxiv.org/pdf/1512.00567v3.pdf>].

Принципы построения сверточных сетей (4)

- ❑ ***Сбалансировать глубину и ширину сети***
 - Увеличение ширины и глубины сети может способствовать созданию сетей более высокого качества
 - Оптимальная производительность сети может быть достигнута путем балансировки количества фильтров на каждом сверточном слое и глубины сети



ПРОБЛЕМА ДЕГРАДАЦИИ МОДЕЛИ. ГЛУБОКИЕ ОСТАТОЧНЫЕ СЕТИ



Проблема деградация модели

- ❑ ***Проблема деградации глубокой модели:***
 - С ростом глубины сети точность насыщается и затем быстро начинает уменьшаться (деградировать)
- ❑ Проблема не является следствием переобучения модели
- ❑ Добавление дополнительных слоев приводит к еще большему значению тренировочной ошибки
- ❑ Деградация точности обучения указывает на то, что не все глубокие модели одинаково легко оптимизируются



Глубокие остаточные сети (1)

- ❑ Вместо того, чтобы предполагать, что некоторая последовательность слоев сети напрямую аппроксимирует базовое отображение, считается, что эти слои аппроксимируют остаточное отображение
- ❑ Введем обозначения
 - $H(x)$ – базовое отображение
 - $F(x) = H(x) - x$ – остаточное отображение
 - Базовое отображение можно представить как поэлементное сложение карт признаков $F(x) + x$
- ❑ Предполагается, что остаточное отображение проще оптимизировать по сравнению базовым. В крайнем случае, если тождественное преобразование является оптимальным, то проще остаток свести к нулю, чем аппроксимировать тождественное отображение набором нелинейных слоев

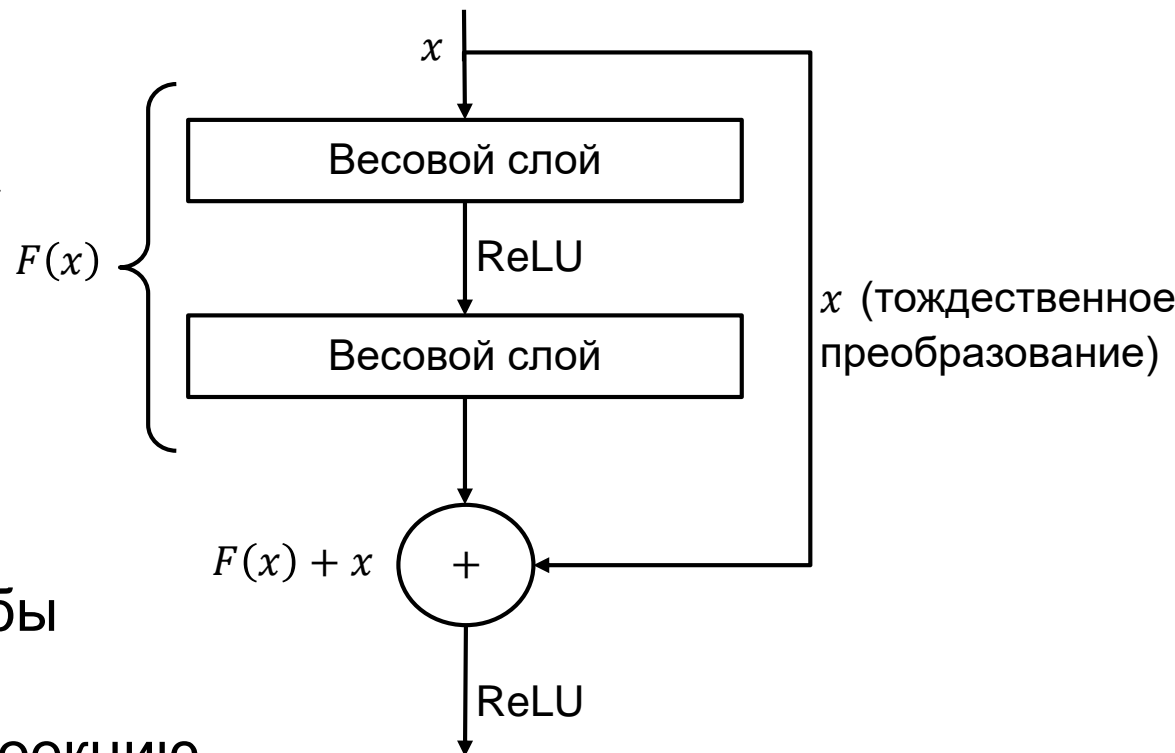


Глубокие остаточные сети (2)

- ❑ Отображение $F(x) + x$ можно представить с помощью сети прямого распространения с быстрыми связями (shortcut connections)

- ❑ Для показанного примера $y = F(x, W_i) + x = W_2 \varphi(W_1 x) + x$, где $\varphi(\cdot)$ – функция активации ReLU

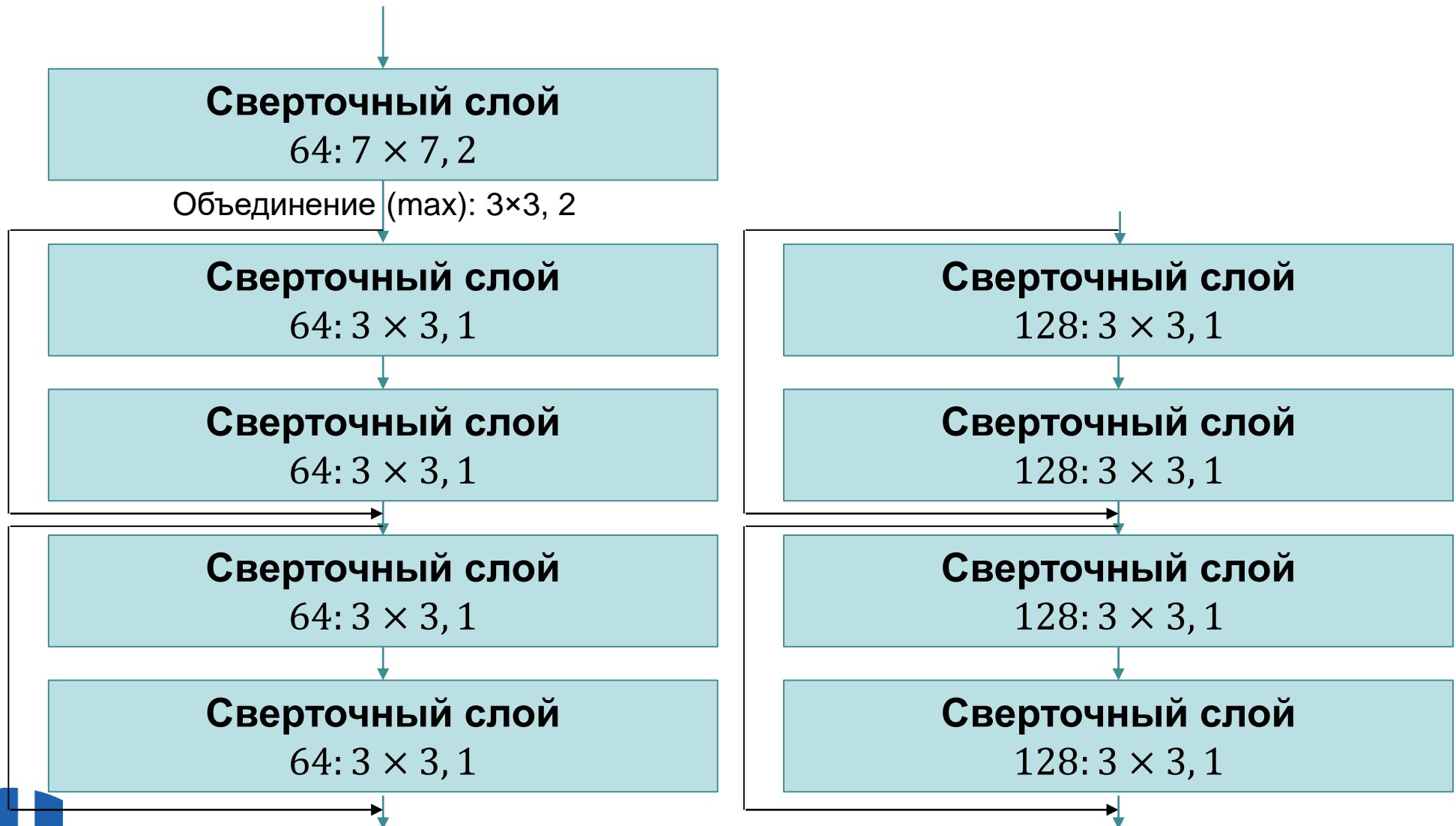
- ❑ $F(x, W_i)$ и x могут иметь разную размерность, чтобы исправить эту ситуацию достаточно выполнить проекцию входного вектора признаков $y = F(x, W_i) + W_s x$



ПРИМЕР ПОСТРОЕНИЯ ОСТАТОЧНОЙ СЕТИ ДЛЯ РЕШЕНИЯ ЗАДАЧИ



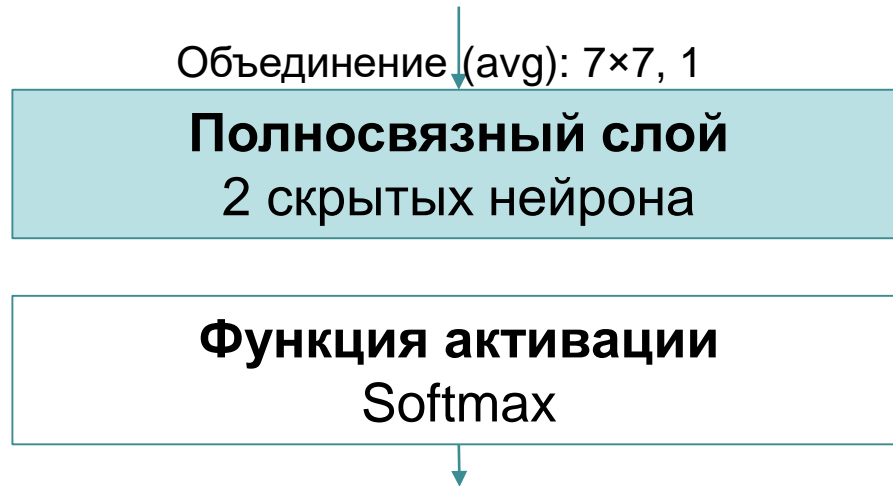
Архитектура остаточной сети ResNet-18 (1)



Архитектура остаточной сети ResNet-18 (2)



Архитектура остаточной сети ResNet-18 (3)



□ **Примечания:**

- После каждого сверточного слоя следует нормализация **BatchNorm** и применение функции активации **ReLU**
- ResNet-34, ResNet-50, ResNet-101 строятся аналогичным образом



Пример применения остаточных сетей к задаче предсказания пола человека по фотографии (1)

```
def generate_resnet18_model():
    layers = make_resnet_base([2, 2, 2, 2], block='basic')
    layers.append(BatchNorm())
    layers.append(Activation(Rectlin()))
    layers.append(Pooling('all', op='avg'))
    layers.append(Affine(2, init=Kaiming(local=False),
                        activation=Softmax()))

    model = Model(layers=layers)

    cost = GeneralizedCost(costfunc=CrossEntropyMulti())

    return (model, cost)
```



Пример применения остаточных сетей к задаче предсказания пола человека по фотографии (2)

```
def make_resnet_base(stage_depths, block='basic',
                    base_channels=64):
    from math import log2

    def conv_params(fsize, nfm, stride=1, relu=True,
                    batch_norm=True):
        return dict(
            fshape=(fsize, fsize, nfm),
            strides=stride,
            padding=fsize // 2,
            activation=(Rectlin() if relu else None),
            init=Kaiming(local=True),
            batch_norm=batch_norm)

    ...
```



Пример применения остаточных сетей к задаче предсказания пола человека по фотографии (3)

```
def module_basic(nfm, first=False, stride=1):
    # building block for ResNet-18
    mainpath = [] if first else [BatchNorm(),
                                   Activation(Rectlin())]
    mainpath.append(Conv(**conv_params(3, nfm,
                                         stride=stride)))
    mainpath.append(Conv(**conv_params(3, nfm,
                                         relu=False, batch_norm=False)))
    sidepath = Conv(**conv_params(1, nfm, stride=stride,
                                   relu=False, batch_norm=False))
    if (first or (stride != 1)) else SkipNode()

    return MergeSum([sidepath, mainpath])
```

...



Пример применения остаточных сетей к задаче предсказания пола человека по фотографии (4)

```
def module_bottleneck(nfm, first=False, stride=1):
    # building block for ResNet-50, -101, -152
    mainpath = [] if first else [BatchNorm(),
                                   Activation(Rectlin())]
    mainpath.append(Conv(**conv_params(1, nfm,
                                         stride=stride)))
    mainpath.append(Conv(**conv_params(3, nfm)))
    mainpath.append(Conv(**conv_params(1, nfm * 4,
                                         relu=False, batch_norm=False)))

    sidepath = Conv(**conv_params(1, nfm * 4,
                                   stride=stride, relu=False, batch_norm=False))
    if (first or (stride != 1)) else SkipNode()
    return MergeSum([sidepath, mainpath])
```



Пример применения остаточных сетей к задаче предсказания пола человека по фотографии (5)

```
blocks = {'basic': module_basic, 'bottleneck':  
          module_bottleneck}  
  
# 18:  [2, 2, 2, 2], output = 512, block = 'basic'  
# 34:  [3, 4, 6, 3], output = 512, block = 'basic'  
# 50:  [3, 4, 6, 3], output = 2048, block = 'bottleneck'  
stage_depths_populated = []  
for stage, depth in enumerate(stage_depths):  
    stage_depths_populated.extend([stage] * depth)  
# nfms is a list of channel counts in blocks  
nfms = [2**(stage + int(log2(base_channels))) for stage  
        in stage_depths_populated]  
strides = [1 if cur == prev else 2 for cur, prev  
           in zip(nfms[1:], nfms[:-1])]  
module = blocks[block]
```



Пример применения остаточных сетей к задаче предсказания пола человека по фотографии (6)

```
# Now construct the network
layers = [
    Conv(**conv_params(7, base_channels, 2)),
    Pooling(fshape=(3, 3), padding=1, strides=2,
            op='max')
]
layers.append(module(nfms[0], first=True))
for nfm, stride in zip(nfms[1:], strides):
    layers.append(module(nfm, stride=stride))

return layers
```



Тестовая инфраструктура

- ❑ CPU: Intel® Xeon® CPU E5-2660 0 @ 2.20GHz
- ❑ GPU: Tesla K40s 11Gb
- ❑ OS: Ubuntu 16.04.4 LTS
- ❑ Инструменты:
 - Intel® neon™ Framework 2.6.0
 - CUDA 8.0
 - Python 3.5.2
 - Intel® Math Kernel Library 2017 (Intel® MKL)



Лучшие результаты для многослойных полносвязных, сверточных и остаточных сетей

Название	Точность, %	Время обучения, с
FCNN-1	71.2	932
FCNN-2	73.5	977
FCNN-3	77.7	1013
CNN-1	79.3	1582
CNN-2	83.5	2030
ResNet-18 (90 эпох)	81.3	15127
ResNet-50 (30 эпох)	80.9	11849



Заключение

- ❑ Применение сверточных сетей позволяют повысить точность решения задачи
- ❑ Построение остаточных нейронных сетей не позволяет получить существенного выигрыша относительно полносвязных моделей в данной задаче
- ❑ Эффективность применения остаточных сетей при решении других задач необходимо проверять экспериментально



Основная литература

- ❑ Хайкин С. Нейронные сети. Полный курс. – М.: Издательский дом «Вильямс». – 2006. – 1104 с.
- ❑ Осовский С. Нейронные сети для обработки информации. – М.: Финансы и статистика. – 2002. – 344 с.
- ❑ Goodfellow I., Bengio Y., Courville A. Deep Learning. – MIT Press. – 2016. – [<http://www.deeplearningbook.org>].



Авторский коллектив

- ❑ **Кустикова Валентина Дмитриевна**
к.т.н., ст.преп. каф. МОСТ ИИТММ,
ННГУ им. Н.И. Лобачевского
valentina.kustikova@itmm.unn.ru
- ❑ **Жильцов Максим Сергеевич**
магистрант каф. МОСТ ИИТММ,
ННГУ им. Н.И. Лобачевского
zhiltsov.max35@gmail.com
- ❑ **Золотых Николай Юрьевич**
д.ф.-м.н., проф. каф. АГДМ ИИТММ,
ННГУ им. Н.И. Лобачевского
nikolai.zolotykh@itmm.unn.ru

